

کاهش جریان هجومی در ترانسفورماتورهای سه فاز با خنثی ایزوله شده^۱

در این مقاله، یک روش جدید برای کاهش جریان هجومی ترانسفورماتورهای سه فاز با خنثی جداشده ارائه شده است. در این روش از سوئیچینگ کنترل شده استفاده شده است و به بریکر های جریان مستقل از قطب نیاز دارد. دو عملیات سوئیچینگ هم در لحظه‌ای که کاهش بهینه جریان هجومی بدست می‌آید، ارائه می‌شوند.

کلمات کلیدی: کلید واژه‌ها: ATP-EMTP، کنترل سوئیچینگ، جریان جاری، ترانس برق، شار پایدار، خنثی ایزوله شده

I. مقدمه

برق کنترل نشده ترانسفورماتورهای قدرت می‌تواند باعث عدم تقارن شار بزرگ و اشباع هسته مغناطیس ترانسفورماتور شود. این باعث اشباع در مقادیر جریان بزرگ با یک طیف هارمونیکی گسترده و یک مؤلفه جریان مستقیم بزرگ می‌شود [1].

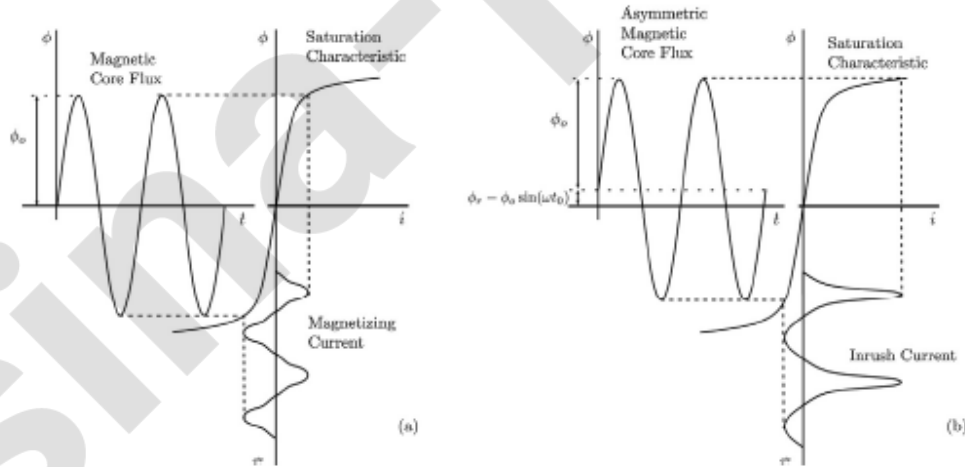
جریان‌های هجومی می‌توانند باعث عملیات نادرست رله‌های حفاظتی [2 و 3]، کاهش عمر ترانسفورماتور [4 و 5] و کاهش کیفیت توان سیستم شود [6 و 7]. این مقادیر با توجه به دو عامل اصلی کاهش می‌یابند که این دو عبارتند از: نقطه‌ای بر رو شکل موج ولتاژ که در آن سوئیچ‌ها بسته شده‌اند و دیگری شار پسمند در هسته ترانسفورماتور [8]. چندین روش، مثل جبرانسازی‌های سری [9 و 10]، برق فاز متوالی با یک مقاومت زمین [11 و 12] و سوئیچ کنترل شده [13 و 14] برای کاهش جریان هجومی توسعه و ارائه شده‌اند. با توجه به این موارد، سوئیچ‌های کنترل شده که شارژ پسمند هسته را بحساب می‌آورند، بیشتر روش‌های امیدوار کننده‌ای هستند. اصل اساسی آن این است که شارهای پسمند برابر با شارهای مربوط به لحظه برق هستند. اگر منبع تغذیه به ترانسفورماتور متصل باشد، شار پرسپکتیو، یک شار پایدار خواهد بود.

¹ isolated neutral

برای موفقیت در روش‌های سوئیچینگ کنترل شده، به بریکر های مدار قطب‌های مستقل نیاز است که از جمله $\pm 1ms$ ویژگی‌های آنها پایداری آنها و قابل کنترل بودنشان می‌باشد. انحراف زمان بسته شدن دلخواه کمتر از $1ms$ می‌باشد [13]. این باعث هزینه اضافی می‌شود که با کاهش هزینه‌های مربوط به تعمیرات و نگهداری بریکر ها و ترانسفورماتورها قابل اجرا می‌باشد [15]. با اینحال، وقتی امنیت و قابلیت اطمینان سیستم مهم است، از هزینه‌های افزایشی سوئیچینگ قابل کنترل و چشم پوشی می‌شود.

در عمل، در [16و8]، برق کنترل شده به ترانسفورماتور سه فاز که خنثی آن به زمین وصل شده است، داده شده است. در اینحال، یک فاز در نقطه بهینه در شکل موج ولتاژ برقدار شده است و دو فاز دیگر بعداً برقدار می‌شوند. این روش بطور گسترده‌ای در سیستم‌های خنثی زمین استفاده می‌شود اما در زمانیکه خنثی ایزوله شده است قابل استفاده نمی‌باشد. از اینرو در این حالت، با بسته شدن یک قطب از بریکر های سه فار هیچ ولتاژی به سیم پیچ های ترانسفورماتور اعمال نمی‌شود.

یک روش سوئیچینگ کنترل شده برای سیستم‌های خنثی ایزوله شده در [16] توضیح داده شده است. این روش مبتنی بر شارهای پسماند پرسپکتیو است و از ولتاژ‌های فاز به فاز محاسبه شده است اما این روش یک بیان تحلیلی درباره زمان بسته شدن مناسب ارائه نمی‌دهد. در این مقاله، زمان‌های سوئیچینگ بهینه مبتنی بر راه حل مسئله مینیمم و ماکزیمم به منظور به حداقل رساندن تقارن شار در طول برقدار بودن ترانسفورماتور بصورت تحلیلی ارائه شده است.



شکل (1). جریان هجومی ایجاد شده در زمانی که شار از حدی تجاوز می‌کند

علاوه براین، جریان‌های پسماند از ولتاژ فاز به زمین محاسبه می‌شوند و سیگنال‌های ولتاژ مورد نیاز کنترل برای این پروسه ممکن است از ترانسفورماتورهای ولتاژ (VT) یا ترانسفورماتورهای ولتاژ خازنی (CVT)‌ها) که معمولاً در مجاورت ترانسفورماتورها نصب شده‌اند بدست می‌آیند. این روش جدید یک رویکرد جدید برای کاهش بهینه جریان هجومی ارائه می‌دهد.

در بخش 2، بر روی اصول سوئیچینگ کنترل شده به منظور کاهش جریان هجومی تمرکز شده است. بخش 3، اندازه گیری شار پسماند در ترانسفورماتورها را با استفاده آر ولتاژ فاز به زمین توصیف می‌کند. بخش 4، روش برق دار شدن کنترل شده ارائه شده را ارائه کرده است. در حالیکه بخش 5، نتایج شبیه سازی را که با کاهش جریان هجومی در طول برقدار شدن مقابله می‌کند را نشان می‌دهد. نتایج این مقاله هم در بخش 6 آمده‌اند.

2- اصول سوئیچینگ کنترل شده

فرض کنید یک ولتاژ $u(t) = U_0 \cos(\omega t)$ به یک ترانسفورماتور بی بار در لحظه t_0 اعمال می‌شود. همانطور که می‌دانیم شار هسته، انتگرال ولتاژ داده شده می‌باشد و بصورت زیر بیان می‌شود

$$\phi(t) = \phi_r + \frac{1}{N} \int_{t_0}^t u(\tau) d\tau = \phi_r - \phi_0 \sin(\omega t_0) + \phi_0 \sin(\omega t) \quad (2)$$

که در آن $\phi_0 = U_0 |(N\omega)$ اندازه شار سینوسی است و ϕ_r شار پسماند اولیه در لحظه t_0 است. ϕ_r مغناطیس دائم هسته است که بخاطر هیسترزیس مواد فرومغناطیسی در زمانی که ترانسفورماتور دوباره برقدار می‌شود، باقی می‌ماند.

از شکل (1)، ماکزیمم مقدار ممکن شار $\phi(t)$ در این فرآیند $\phi_r + 2\phi_0$ می‌باشد. ترانسفورماتورهای توان برای عمل در یک شار و ولتاژ مجاز نزدیک به نقطه زانو اشباع طراحی شده‌اند (شکل 1a) به محض اینکه شار هسته از مقدار مجاوز تجاوز می‌کند، هسته اشباع عمیق می‌شود و این باعث ایجاد جریان مغناطیسی بزرگ‌تر می‌شود (شکل .(1b

شکل (2) قسمت اصلی حذف تقارن شار هسته را نشان می دهد. شار پرسپکتیو (انتگرال نامحدود ولتاژ اعمال شده) در لحظه وصل شدن باید برابر با شار پسمند باشد. این معادل با انتخاب لحظه وصل t_0 است که $\phi_r = \Phi_0 \sin(\omega t_0)$ می باشد.

۳- اندازه گیری شار مغناطیسی پسمند در ترانسفورماتورهای زمین نشده^۲

شارهای پسمند با انتگرال گیری از ولتاژهای فاز در طول برق دهی مجدد مطابق با قانون فاراده بدست می آیند. برای این منظور، سه ولتاژ بین خطوط و نقطه خنثی ترانسفورماتور نیاز است. به دلایل اقتصادی، خنثی ممکن است خارج از مخزن نصب شود، در نتیجه باعث ذخیره هزینه بوشینگ می شود. بنابراین، نقطه خنثی ترانسفورماتور گاهی اوقات غیرقابل دسترسی می شود. با اینحال، ولتاژهای فاز ترانسفورماتورهای از ولتاژهای فاز به زمین بدست می آیند.

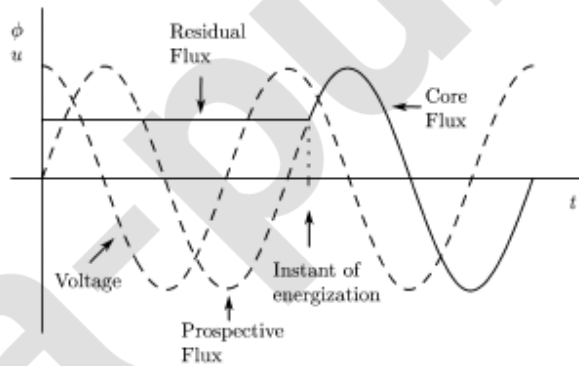
شکل (3) یک سیستم ساده برای برق رسانی ترانسفورماتورهای زمین نشده نشان می دهد و معادلات زیر در آن برقرارند:

$$u_{AN} - u_{BN} = u_{AG} - u_{BG}$$

$$u_{BN} - u_{CN} = u_{BG} - u_{CG}$$

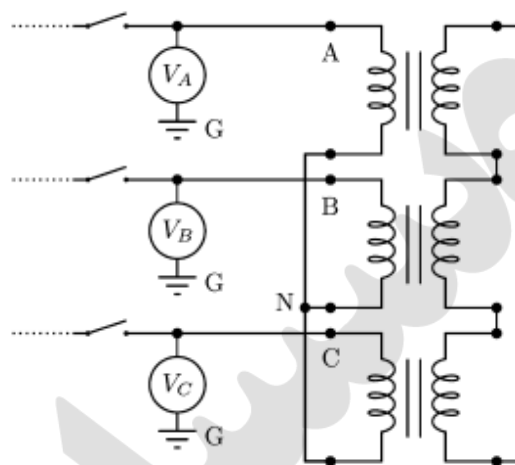
$$u_{CN} - u_{AN} = u_{CG} - u_{AG}$$

معادله (2)



شکل (2). برق بهینه برای حذف عدم تقارن شار هسته

² ungrounded



شکل (3). سیستم ساده برای برق رسانی به ترانسفورماتور زمین نشده

از اینرو سیم پیچ ثانویه به ولتاژ وصل می‌شود

$$u_{AN} + u_{BN} + u_{CN} = 0 \quad \text{معادله (3)}$$

با توجه به معادلات 2 و 3، ولتاژهای فاز ترانسفورماتور بدست می‌آیند:

$$\begin{aligned} u_{AN} &= \frac{1}{3}(2u_{AG} - u_{BG} - u_{CG}) \\ u_{BN} &= \frac{1}{3}(2u_{BG} - u_{CG} - u_{AG}) \\ u_{CN} &= \frac{1}{3}(2u_{CG} - u_{AG} - u_{BG}) \end{aligned} \quad \text{معادله (4)}$$

در نهایت شارهای $\Phi_A(t)$, $\Phi_B(t)$ و $\Phi_C(t)$ با انتگرال گیری از ولتاژهای فاز مربوطه ترانسفورماتور بدست می‌آیند.

4-روش ارائه شده

دران بخش، یک روش برق رسانی برای یک ترانسفورماتور سه فاز با خنثی ایزوله شده ارائه شده است. این روش برای ترانسفورماتورهای سه فاز با اتصال سیم پیچ wye قابل ارائه می‌باشد که در آن مجموع شار سیم پیچ‌ها برابر صفر است که ترانسفورماتورهای سه لگ هسته‌ای یا ترانسفورماتورها با یک اتصال ولتاژ در سیم پیچ دیگر هستند.

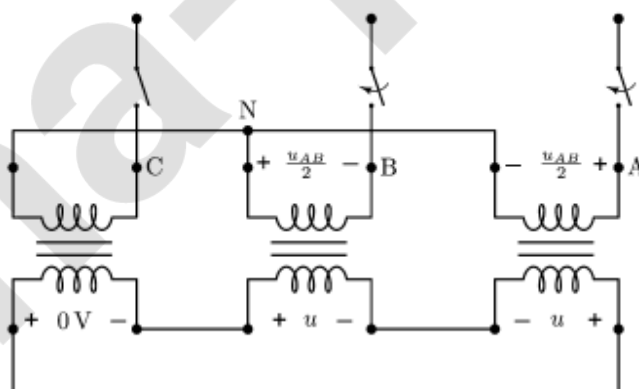
در ابتدا، به وضوح این روش تحت این فرض ارائه شده است که شارهای پسمند یک طرح متقارن ($+R, -R, 0$) با شار پسمند نزدیک صفر در یک فاز و یک مقدار محدود اضافه و یک مقدار محدود منفی در دو سیم پیچ دیگر ارائه می‌دهد. این طرح قابل اجرا است یا حداقل با برق دهی مجدد کنترل شده مناسب تقریب زده می‌شود [14 و 18].

پس این روش برای طرح‌های شار پسمند دیگر قابل توسعه می‌باشد. در حالتی که یک برق دهی مجدد بدون برنامه موجود انجام می‌گیرد به عنوان مثال، زمانی که یک خطاب رخ می‌دهد، مجموع شارهای پسمند صفر باقی می‌مانند اما هر طرحی در هسته مغناطیسی R_1, R_2, R_3 قابل دریافت است. در این شرایط، این روش با تغییرات جزئی قابل اغماض است. جریان هجومی می‌تواند بطور کامل در هر حالت حذف شود.

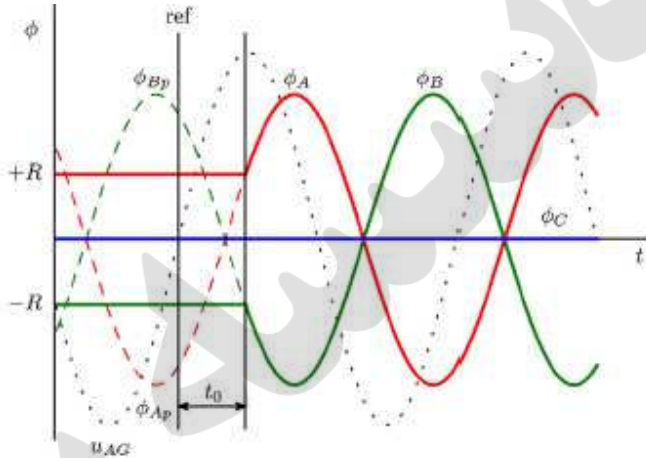
1-4 روش سوئیچینگ با طرح شار پسمند $0, +R, -R$

شکل (4) طرح الکتریکی یک ترانس‌عورماتور سه فاز $\Delta - Y$ را برای توضیح این روش نشان می‌دهد. در این کار فرض می‌شود که شارهای پسمند $\phi_C = 0, \phi_B = -R, \phi_A = R$ می‌باشد. اگرچه این روش می‌تواند به راحتی به حالت‌های دیگر هم ارائه شود.

در ابتدا این روش برق رسانی در فاز با شارهای پسمند $+R$ و $-R$ -ارائه می‌شود. به عنوان مثال فازهای A و B در زمان وصل t_0 زمانی که شارهای پرسپکتیو $\Phi_{BP}(t_0)$ و $\phi_{AP}(t_0) = R$ برابرند.



شکل (4). ترانسفورماتور سه فاز، نقطه خنثی زمین نشده



شکل(5). حالت شارهای هسته واقعی (خطوط پیوسته) و پرسپکتیو(خط چین‌ها) برای سوئیچینگ A و B در $t > t_0$ حالت طرح متقارن

در $t > t_0$ داریم $U_{CN}(t) = 0$ و $U_{AN}(t) = -U_{BN}(t) = U_{AB}(t)/2$ و شارهای متناظر رابطه مشابهی مثل ولتاژها دارند. به عنوان مثال، $\phi_A(t) = -\phi_B(t), \phi_C(t) = 0$ شکل (5) شارهای واقعی (خطوط پیوسته) و شارهای پرسپکتیو (خطوط خط چین) را مثل ولتاژهای فار A به زمین U_{AG} نشان می‌دهد. دقیق کنید زمانیکه $t < t_0$ باشد، آرهای واقعی هسته، شارهای پسماند هستند و اما زمانیکه $t > t_0$ باشد، سه شار، شارهای پرسپکتیو متناظر را دنبال می‌کنند (فاز C صفر باقی می‌ماند).

با استفاده از مقدار صفر ولتاژ U_{AG} ، مشتق مثبت با عنوان مرجع، اولین زمان سوئیچینگ ممکن t_0 بدین صورت بدست می‌آید:

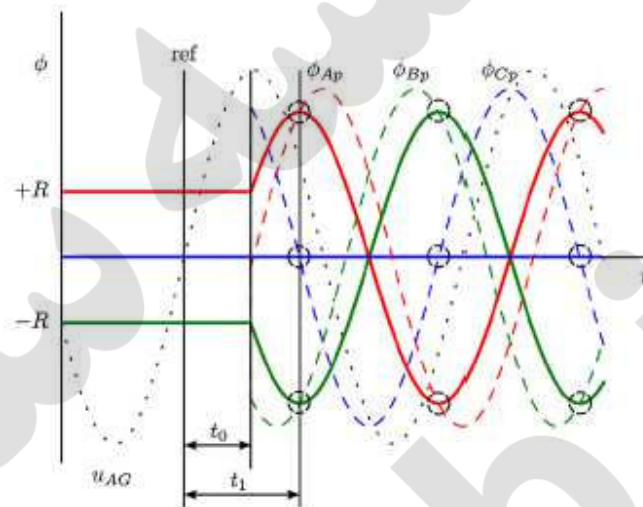
$$t_0 = \frac{\arcsin(2R/\sqrt{3}\phi_0) + \pi/3}{2\pi f} \quad \text{معادله (5)}$$

که در آن

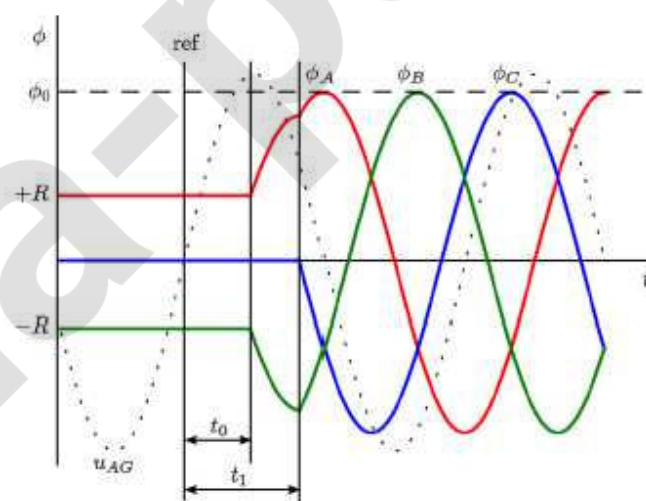
$$\phi_0 = \frac{U}{4.44\eta f} \quad \text{معادله (6)}$$

زمانی مقدار یک شار پیک است که ولتاژ فاز به زمین عددی(اسمی) با مقدار r_{rms} که با استفاده از مشتق a بدست آید، به یک سیم پیچ ترانسفورماتور اعمال می‌شود. فرکانس شبکه است و n تعداد دور سیم پیچ است. در نهایت، در این روش وقتی شارهای واقعی بعد از بستن t_0 ، همه سه شار پرسپکتیو را مطابق با تعادل سیستم متعادل می‌کنند، سومین قطب در لحظه t_1 بسته می‌شود که در شکل (6) هم نشان داده شده است. که داریم

$$\phi_{AP}(t_1) = \phi_A(t_1), \phi_{BP}(t_1) = \phi_B(t_1), \phi_{CP}(t_1) = \phi_C(t_1)$$



شکل (6). لحظه بسته شدن بهینه برای فا C. حالت طرح متقارن، شارهای واقعی (خطوط صاف) و شارهای پرسپکتیو(خط چین)



شکل (7). شارها در طول کل فرآیند برق دهی حالت طرح متقارن

این روش یک مزایا دارد که همه معادلات همزمان در لحظه صفر در طول $t = 0$ رضایت بخش هستند. به عنوان

مثال، دو بار در هر سیکل که در شکل (4) با دایره مشخص شده‌اند. راه حل آن هم بصورت زیر است:

$$t_1 = \frac{\arcsin(\phi_0/\phi_0) - \pi/6}{2\pi f} \quad \text{معادله (7)}$$

با درنظر گرفتن $\phi_{CR} = 0$ ، اولین راه حل مثبت برابر با $t_1 = \frac{T}{2} - \frac{T}{12} = 5T/12$ است که در آن f پریود شکل موج است. کل فرآیند برق دهی در شکل (7) نشان داده شده است که در آن دو فاز اول در t_0 برقدار شده‌اند و سومین فاز در t_1 برق دار می‌شود. می‌توان مشاهده کرد که شارها در هیچ زمانی از مقادیر اسمی شان تجاوز نمی‌کنند و بنابراین هیچ اشباعی درهسته ندارند. در نتیجه به یک کاهش جریان هجومی می‌رسد.

4-2 روش سوئیچینگ با شارهای پسماند نامتقارن

اگر الگوی متقارن بارهای پسماند R_0, R_1, R_2 در طول برق دهی مجدد قابل مقایسه نباشد، پس باید تغییرات اساسی برای تعمیم روش ایجاد کنیم. به منظور توصیف فرآیند برق دهی بصورت واضح‌تر فرض می‌کنیم که $\phi_{Ar} = \phi_{Br}$ باشد.

در حالت قبل، دو فاز با بزرگترین شار پسماند دوتای اولی هستند که بسته می‌شوند اما حالا شارهای پرسپکتیو $\phi_{AP}(t)$ و $\phi_{BP}(t)$ با شارهای پسماند R_1, R_2, R_3 در هیچ لحظه‌ای تطابق ندارند.

با اینحال، یک لحظه بهینه t_0 وجود دارد که می‌تواند از طریق راه حل‌های مسئله ماگزینم-مینیمم گفته شده در زیر بدست می‌آید:

$$\min_{0 \leq t \leq [0, 2\pi]} \max \{ |\phi_{Ap}(t) - R1|, |\phi_{Bp}(t) - R2| \} \quad \text{معادله (8)}$$

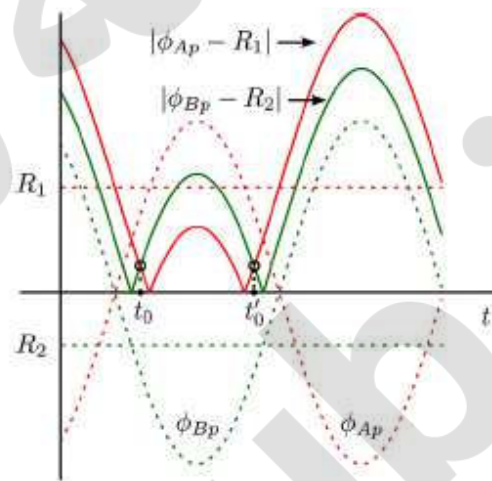
همانطور که در شکل (8) نشان داده شده است، مسئله ماگزینم-مینیمم در (8) در هر پریود دو راه حل وجود دارد که در اینجا با استفاده از دایره نشان داده شده‌اند که در آن بزرگترین اختلاف بین شارهای پسماند و پرسپکتیو دو

فاز آنها حداقل است. در حالت گرافیکی، می‌توان مشاهده کرد که راه حل‌ها زمانی اتفاق می‌افتد که $|\phi_{AP}(t_0) - R_1| = |\phi_{BP}(t_1) - R_2|$

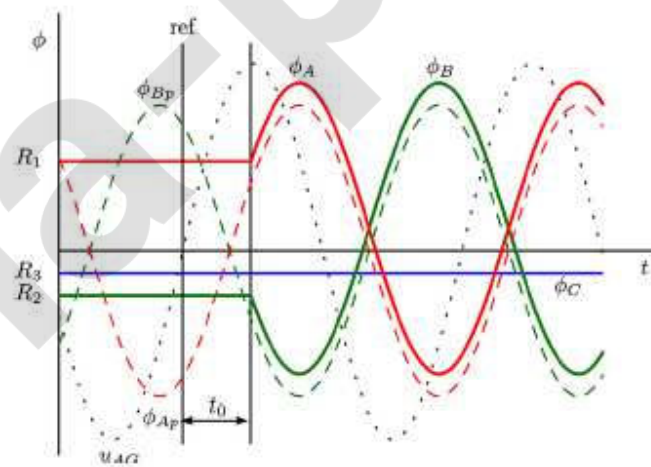
باشد و در لحظه t_0 به صورت تحلیلی عبارت است از:

$$t_0 = \frac{\arcsin(R_1 - R_2 / \sqrt{3}\phi_0) + \pi/3}{2\pi f} \quad \text{معادله (9)}$$

شکل (9) شارهای واقعی و پرسپکتیو بعد از برق رسانی فازهای A و B نشان می‌دهد. همانطور که مشاهده می‌شود در شکل (9) شارهای پرسپکتیو متناظر نیستند. با اینحال، اختلاف آنها حداقل است که قابل $t=t_0$ شارهای فاز A و B برابر با شارهای پرسپکتیو متناظر نیستند. محاسبه نمی‌باشد.



شکل (8). لحظه بسته شدن بهینه که راه حل مسئله مینیمم ماکزیمم است



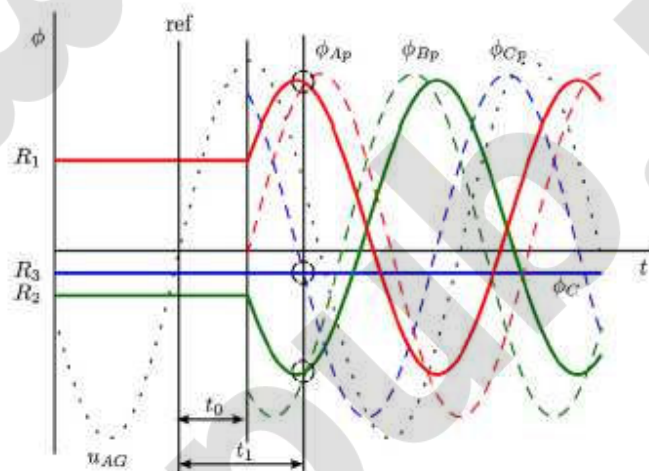
شکل (9). شارهای هسته واقعی (خطوط صاف) و پرسپکتیو (خط چین) برای سوئیچینگ فاز A و B در t0. حالت

طرح نامتقارن

در شکل (10) می‌توان مشاهده کرد که بعد از بسته شدن در لحظه t0. شارهای واقعی (خطوط صاف) همه سه شار پرسپکتیو جدید(خط چین‌ها) را با توجه به سیستم تعادل دربار در هر سبک تطبیق می‌دهند.

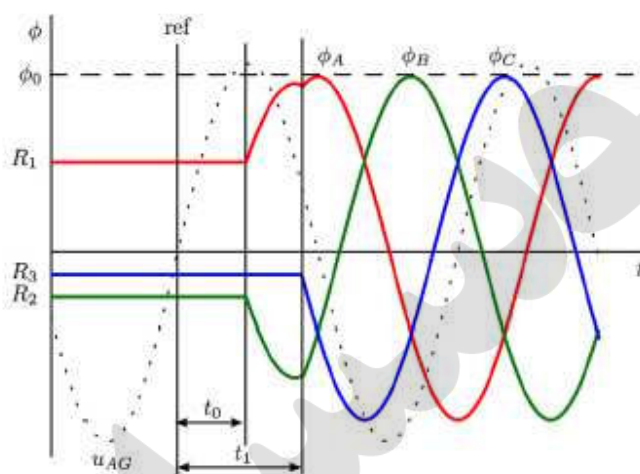
سومین قطب C را در لحظه t1 زمانیکه شارهای پسمند، با شارهای پرسپکتیو ($\phi_A(t1) = \phi_{AP}(t1)$) مطابقت می‌کند می‌تواند بسته شود. مقدار t1 از رابطه زیر بدست می‌آید:

$$t_1 = \frac{\arcsin(R_3/\phi_0) - \pi/6}{2\pi f} \quad \text{معادله (10)}$$



شکل (10). شارهای واقعی هسته (خطوط صاف) و پرسپکتیو (خط چین) برای سوئیچینگ فاز C در t1. در طرح

نامتقارن



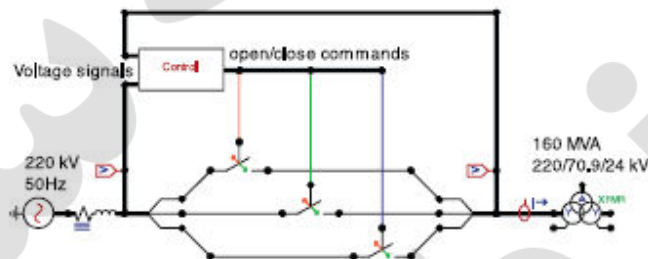
شکل (11). شارها در طول کل فرآیند برق دهی حالت طرح نامتقارن

با بدنبال کردن این روش می‌توان دید که شارهای هسته بعد از اینکه برق دهی شدند، با شارهای سیم متعادل حالت پایدار برابر هستند. شکل 11، را ببینید. در فاصله t_0 و t_1 شارهای مغناطیسی یک مؤلفه DC کوچک دارند، اما مقدار نرخ شار $\dot{\Phi}_1$ از یک مقدار مشخص تجاوز نمی‌کند چون ولتاژ اعمال شده به سیم پیچ‌های ترانسفورماتور کمتر از حد مجاز است. بنابراین، هسته ترانسفورماتور در طول برق رسانی به اشباع نمی‌رود و جریان هجومی به جریان کاهشی تخلیه، کاهش می‌یابد.

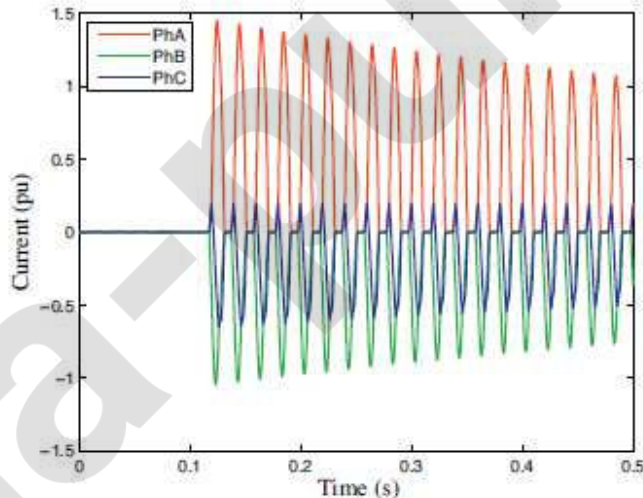
اگر روش‌های ارائه شده برای برق دهی ترانسفورماتور با طرح‌های متقارن و نامتقارن شارهای پسماند تجزیه و تحلیل شوند، می‌توان مشاهده کرد که حالت قبلی تنها یک حالت خاص از دومی می‌باشد. از اینرو، تنها یک الگوریتم باید در قطعه سوئیچینگ کنترل شده برنامه ریزی شود. شبه کد الگوریتم ارائه شده بصورت زیر است:

- 1- اندازه گیری ولتاژهای فاز به زمین در طول برق رسانی مجدد
- 2- محاسبه ولتاژهای فاز ترانسفورماتور با توجه به (4)
- 3- محاسبه شارهای پسماند با انتگرال گیری از ولتاژهای فاز متناظر
- 4- دو فاز که بیشترین شار پسماند در لحظه داده شده (9) را دارند، می‌بندیم.
- 5- سومین فاز را زمانی می‌بندیم که شارهای پسماند و پرسپکتیو برابر باشند که لحظه بستن آن از (10) بدست می‌آید.
- 5- شبیه سازی سوئیچینگ ترانسفورماتور زمین نشده

چند شبیه سازی با استفاده از برنامه گذرا الکترومغناطیسی ATP/EMTP برای تأیید روش ارائه شده انجام شده است. سیستم تست برای شبیه سازی ها در شکل (12) نشان داده شده است که از یک منع 50HZ ، KV220 و یک ترانسفورماتور سه لگ هسته Δ/Y تشکیل شده است. ترانسفورماتورها با استفاده از مدل ترانسفورماتور هایبرید (ترکیبی) مدلسازی شده است که پارامترهای آن از اطلاعات تست استاندارد ارائه شده توسط تولید کننده بدست می آیند. مدل ترانسفورماتور هایبرید، یک ارائه دقیق از هسته ترانسفورماتورها می دهد [19-21]. برق دهی تصادفی این ترانسفورماتورها ممکن است باعث ایجاد یک شار دینامیکی بزرگ و اشباع هسته شود. این نتایج اشباع در جریان هایی با دامنه بالا در شکل (13) نشان داده شده اند.



شکل (12). مدار خام ATPD برای شبیه سازی سیستم

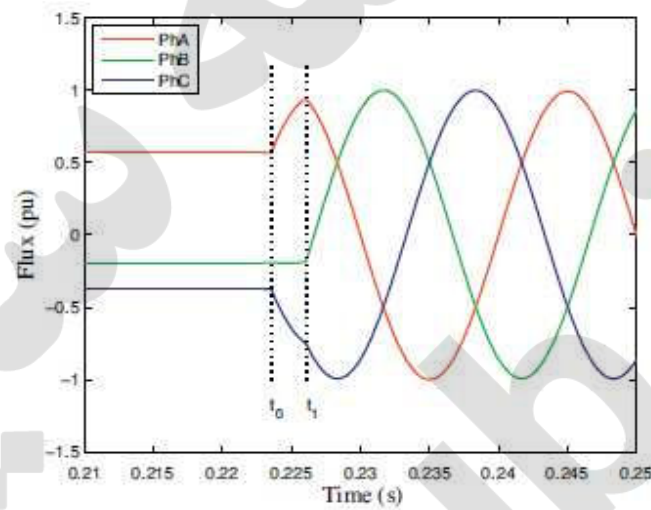


شکل (13). جریان تهاجمی در طول برق رسانی کنترل شده

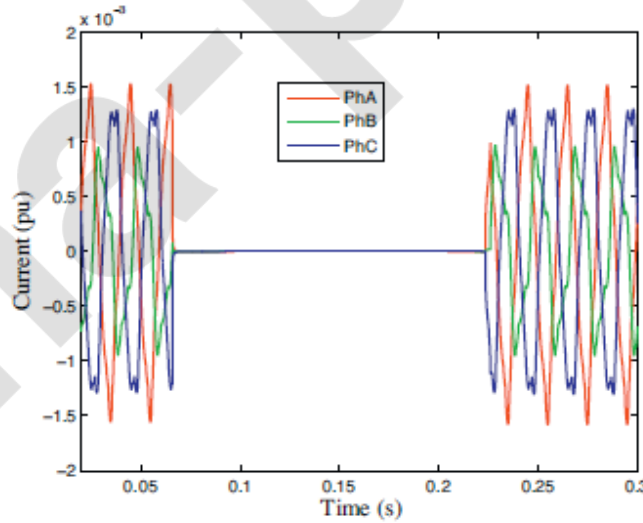
جريان هجومی می تواند از طریق کنترل برق دهی ترانسفورماتور با روش ارائه شده حذف شود. در طول برق دهی مجدد، شارهای پسمند با انتگرال گیری از ولتاژهای فاز مربوطه طبق (4) بدست می آیند که در این حالت Φ_{Ar}

$$(14) \quad \Phi_{Cr} = -0.34pu \quad \Phi_{Br} = -0.22pu \quad 0.56pu$$

شکل(14)، ارزیابی شار هسته در طول برق رسانی با توجه به روش ارائه شده در بخش قبل را نشان می دهد. دو فاز بالاترین شار پسمند که فازهای A و C هستند در لحظه t_1 بسته می شوند و توسط معادله (9) بدست آمده‌اند. فاز B زمانی بسته می شود که شار پرسپکتیوشن برابر با شار پسمند Φ_{Br} در لحظه t_1 باشدو توسط (10) بدست می آید .



شکل (14). شارهای هسته در طول برق رسانی



شکل (15). جریان‌ها در طول فرایند برق رسانی و برق رسانی مجدد

از آنجا که شار از مقدار معینی تجاوز نمی‌کند، پدیده اشباع در هسته مغناطیس رخ نمی‌دهد و جریان در طول برق رسانی مثل جریان مغناطیس شوندگی ترانسفورماتوری بی‌بار در حالت پایدار است که در شکل (15) هم آمده است.

6-نتیجه گیری

در این کار یک روش برای کاهش جریان هجومی ترانسفورماتور سه فاز با خنثی ایزوله شده برای سوئیچینگ کنترل شده ارائه شده است. این روش به بریکر های جریان مستقل قطب عملیات و اندازه گیری ولتاژ فاز به زمین برای تعیین شار پسمند نیاز دارد. دو عملیات سوئیچینگ نیاز است: اولی به دو فازی که بالاترین مقدار شار پسمند را دارند، برق می‌دهد و دومی عملیات برق رسانی به دومین فاز را انجام می‌دهد. لحظات سوئیچینگ بهینه به صورت آنالیزی بدست می‌آیند

لحظه اول t_0 که تابعی از شارهای پسمند است و دومین لحظه t_1 در لحظه زمانی است که همه شارهای واقعی به خوبی و همزمان شارهای پرسپکتیوشن را مطابقت می‌دهند. بنابراین، باعث کاهش جریان هجومی شود. به منظور بررسی عملکرد روش ارائه شده یک پیش نمونه آزمایشی در حال توسعه است. نویسنده‌گان قصد دارند که گزارشاتی در این باره ارائه کنند.